# НАПРАВЛЕННЫЙ СИНТЕЗ СОРБЕНТОВ И МАТРИЦ ЗАХОРОНЕНИЯ РАДИОАКТИВНЫХ И ТОКСИЧЕСКИХ ОТХОДОВ

<u>Карбовский В.Л.\*</u>, Шпак А.П., Смоляк С.С. (1), Диденко Р.В. (1), Курган Н.А. (1)

Институт металлофизики им.Г.В.Курдюмова НАН Украины, бульв. акад. Вернадского, 36, Киев, Украина <sup>(1)</sup>Технический центр НАН Украины, ул. Покровская, 13, Киев, Украина \*Tel.:8(044)424 3010 – E-mail: karb@imp. kiev.ua

#### Введение

Обладая сорбционными свойствами, высокодисперсный гидроксоапатит кальция позволяет удалять загрязнения чрезвычайно обеспечивает широкой природы, что последующее длительное хранение вторичного загрязнения [1-3]. Однако перспектива применения таких матриц для захоронения радиоактивных отходов не может быть достаточно полно освещена и обоснована без выявления взаимосвязи изоморфных замещений в структуре апатита.

## Результаты и обсуждение

Исследованы изменения электронной структуры апатита кальция, инициированные изоморфной модификацией ураном. Исследования проводились методом рентгеновской фотоэлектронной спектроскопии с привлечением квантовомеханического моделирования в LMTO приближении.

При изоморфном замещении кальция на уран в гидроксоапатите кальция (Са-ГАП) все атомы притерпевают изменения в энергии связи электронов. Линия O1s кислорода увеличивает энергию связи на 1.0 эВ при сохранении ширины линии. Линии остовных электронов кальция сдвигаются в сторону больших энергий связи, так для Ca 2s-уровня сдвиг составляет 1.1 эВ; Са 2р линии - 1.0 эВ. Линия 2р-электронов фосфора в этом случае также смещается в сторону больших энергий Следовательно, связи на 1.0 **∍**B. изоморфной модификации Са-ГАП ураном происходят заметные изменения в электронной компонент Са-ГАП, больший сдвиг наблюдается у электронных уровней, расположенных ближе к валентной зоне [4].

Энергия связи 4f-электронов атомов урана близка к таковой в соединении  $UO_3$  [3], что свидетельствует о том, что они имеют максимальную для атомов урана валентность. Однако, в урансодержащем апатите сдвиг энергии связи 4f-электронов значительно больший, чем для  $UO_3$ , при этом наблюдается

симбатное изменение ширины линии спектра, то есть имеет место эффект малого количества вещества или "кластерный" эффект.

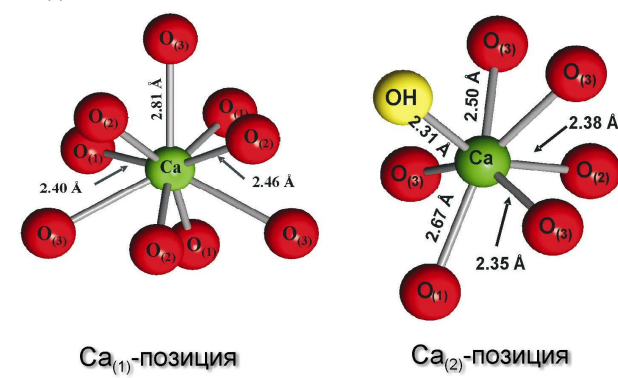
Согласно квантовомеханическим расчетам энергетические состояния кислорода определяют форму кривой  $Ca_9U(PO_4)_6(OH)_2$ , как и в случае Ca-ГАП [5]. При переходе к урансодержащему апатиту наблюдается смещение всех пиков плотностей электронных состояний  $O_{(1)}$  s,  $O_{(1)}$  p и  $P_{(1)}$  s,  $P_{(1)}$  р в сторону низких энергий, что может свидетельствовать о повышении энергии связи Р-О в тетраэдре. Несколько увеличивается энергия связи  $O_{(2)}$  s и  $P_{(2)}$  p электронов при одновременном уменьшении энергии связи  $O_{(2)}$  р и  $P_{(2)}$  s, что свидетельствует перераспределении электронной плотности для случая  $sp_3$ -гибридизации. Для плотностей  $O_{(3)}$  р и О<sub>(4)</sub> р более выразительными становятся пики в области 7-8 эВ. Все это свидетельствует о понижении симметрии тетраэдра РО<sub>4</sub>.

Необходимо отметить, что для всех электронных плотностей кальция происходит смещение пика в области 10 эВ на величину 0.7 эВ в сторону низких энергий связи. Если учесть, что аналогичные смещения получают  $P_{(1)}$  p,  $P_{(2)}$  p и  $O_{(1)}$  s,  $O_{(1)}$  p,  $O_{(2)}$  s,  $O_{(2)}$  p,  $O_{(3)}$  s,  $O_{(3)}$  p, то можно говорить о некотором разрыхлении связи Ca-O-P.

Изоморфная примесь урана существенно влияет на форму кривой ППС стехиометрического Са-ГАП. Так как вхождение урана в решетку Са-ГАП из-за несоответствия радиусов кальция и урана симметрию тетраэдров, понижает происходит расщепление, а также смещение имеющихся и возникновение новых пиков. Так для  $Ca_{(1)}$  s,  $Ca_{(1)}$  p,  $Ca_{(1)}$  d и  $Ca_{(3)}$  d-электронных плотностей пик в области 5-8 эВ расщепляется на 3, а  $Ca_{(3)}$  s,  $Ca_{(3)}$  p на 2. На кривых  $Ca_{(1)}$  p и Са(3) р возникает новый пик около 8 эВ. Для Ca<sub>(2)</sub> s-плотности главный пик смещается на 1.5 эВ, а также сужается, при этом его интенсивность несколько возрастает. Форма коррелирует пика c соответствующего пика у Us-плотности. Для

Ca<sub>(3)</sub> s и Ca<sub>(3)</sub> d-плотностей также возникает пик на 8 эВ, происходит расщепление пика около 6 эВ на 2 компоненты. Существенные изменения в плотности электронных состояний наблюдается для  $O_{(5)}$  р и  $O_{(6)}$  р. Возникает пик на 7 эВ. Повышается интенсивность пика в области 10 эВ. Более выразительными становятся 2 пика в области 20-25 эВ, что быть результатом взаимодействия кислорода гидроксильной группы с ураном. Для плотностей состояний  $O_{(7)}$  s,  $O_{(7)}$  р и  $O_{(8)}$  s, О(8) р наблюдается смещение пиков в область высоких энергий связи на 2 эВ. Аналогичные смещения наблюдаются и для  $H_{(1)}$  s и  $H_{(2)}$  s. Форма пиков для водорода в области 15-17 эВ подобна форме соответствующих пиков для  $O_{(7)}$  р и  $O_{(8)}$  р, что есть следствием отображения связи О-Н.

Корреляция смещений положений рентгеноэлектронных линий и расчетных данных (атом урана расположен в  $Ca_{(2)}$ -позиции) свидетельствуют о предпочтительном местонахождении урана в  $Ca_{(2)}$ -позиции (рис. 1).



**Рис. 1.** Положение урана в гидроксоапатите при изоморфном замещении кальция.

#### Выводы

Изоморфная модификация гидроксоапатита кальция ураном приводит к понижению симметрии тетраэдров  $PO_4$  и увеличении связи Ca-O-P.

Наблюдаемое изменение ширины линии 4f-электронов урана определяется эффектом малого содержания легирующей добавки или "кластерным" эффектом.

Сопоставление спектральных и квантовомеханических данных позволило заключить, что вхождение атомов урана в структуру гидроксоапатита происходит преимущественно в  $Ca_{(2)}$  позиции.

Этот факт открывает перспективу управляемого создания матриц для долгосрочного захоронения радиоактивных отходов и других токсикантов.

### Литература

- 1. Шпак А.П., Карбовский В.Л., Трачевский В.В., Апатиты, Академпериодика, Киев (2002)., с.414.
- Jeanjean J., Rouchaud J.C., Tran L., Fedoroff M. Sorption of uranium and other heavy metals on hydroxyapatite. // Journal of Radioanalytical and Nuclear Chemistry Letters. 1995. Vol. 201, № 6. P. 529-539.
- 3. Verbist J., Riga J., Pireaux J.J., Caudano R. X-ray photoelectron spectra of uranium and uranium oxides. Correlation with the half-life of <sup>235</sup>U // J. Electron Spectrosc. Relat. Phenom. 1974. Vol. 5. P. 193-205.
- 4. Карбовский В.Л., Вахней А.Г., Диденко Р.В., Сенкевич А.И., Смоляк С.С., Курган Н.А. Электронное строение гидроксоапатита кальция, изоморфномодифицированного ураном // Металлофизика и новейшие технологии. 2003. Т. 25, № 11. С. 1431-1437.
- 5. Шпак А.П., Карбовский В.Л., Вахней А.Г., Сенкевич А.И., Касияненко В.Х. Теоретические и спектральные исследования изоморфноэлектронного строения замешенных тетраэдрических структур Доклады кальция Национальной академии наук Украины. - 2002. - № 7. -C. 88-96.